

# ESTUDO DO EFEITO DOS PRODUTOS DA ESTÉVIA SOBRE A ORGANIZAÇÃO ESTRUTURAL DA BICAMADA LIPÍDICA

Marcos Felipe Moura do Amaral (PIBIC/CNPq/Uem), Luciana Marciano (Mestranda/PFS/UEM), Cecília Edna Mareze da Costa (DFS/UEM), Sílvio Cláudio da Costa (DBI/UEM), Kellen Brunaldi (Orientadora) e-mail: kbrunaldi@gmail.com

Universidade Estadual de Maringá / Departamento de Ciências Fisiológicas, Maringá, PR.

Área CNPq: Ciências Biológicas, Fisiologia, Biofísica

Palavras-chave: bicamada lipídica, estévia, permeabilidade

### Resumo

O objetivo desse trabalho foi avaliar o efeito do glicosídeo isolado da estévia, esteviosídeo e sua aglicona isoesteviol sobre a organização estrutural da bicamada lipídica detectada como uma alteração inespecífica da permeabilidade. Para tal, LUVs (large unilamellar vesicles) de fosfatidilcolina de ovo (egg-PC), com ou sem calceína encapsulada, foram preparadas por extrusão. A % de calceína liberada para o tampão externo foi calculada frente a adição dos produtos da estévia as LUVs e o raio hidrodinâmico foi medido por DLS (Dynamic Light Scattering). Isoesteviol e esteviosídeo (3 a 60 µM) adicionados a LUVs (150 µM, concentração em egg-PC) não causaram vazamento de calceína para o tampão externo. O tamanho das LUVs não foi alterado por esses produtos (10 a 100 µM adicionados a 500 µM de LUVs). Conclui-se que o isoesteviol e esteviosídeo não promovem alterações significativas na organização estrutural da bicamada lipídica.

#### Introdução

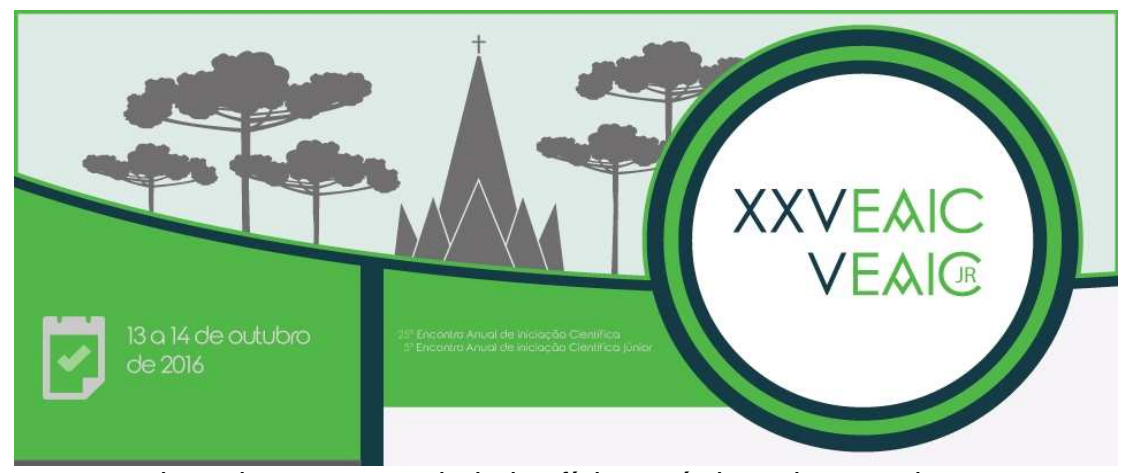
Glicosídeos isolados da *Stevia rebaudiana* (*Bert.*) Bertoni além de serem uma fonte de adoçantes não-calóricos, apresentam ações hipoglicemiantes e hiperinsulinêmicas (JEPPESEN *et al.*, 2000), que podem ocorrer a nível de membrana celular, como a inibição dos canais para K<sup>+</sup><sub>ATP</sub> de células beta pancreáticas (ABUDULA *et al.*, 2008). Por outro lado, os produtos da estévia











per se podem alterar as propriedades físico-químicas das membranas, o que explicaria parte dos seus efeitos biológicos e ou toxicidade. Portanto, o objetivo deste trabalho foi avaliar o impacto dos produtos derivados da estévia, esteviosídeo e isoesteviol sobre a organização estrutural da bicamada lipídica. Para tal, foi utilizada a sonda fluorescente calceína para a detecção de variações rápidas na permeabilidade de membranas lipossomais. Quando uma alta concentração de calceína é encapsulada no interior de lipossomas, a fluorescência medida é baixa devido a auto-extinção dada pela colisão entre as suas moléculas. Porém, se a permeabilidade da membrana é aumentada, moléculas de calceína se difundem para fora do lipossoma (vazamento) resultando em um aumento da fluorescência.

#### Materiais e métodos

LUVs (large unilamellar vesicles) de fosfatidilcolina de ovo (egg-PC) foram formados por extrusão. Resumidamente, um filme lipídico (10 mg de egg-PC em clorofórmio, seguido de evaporação do solvente) foi hidratado com 5 ml de 50 mM KCl, 20 mM NaHPO<sub>4</sub> e 70 mM de calceína (pH 7,4), por 1 hora e a temperatura ambiente. A suspensão de egg-PC foi submetida a 5 ciclos de congelamento/descongelamento com N<sub>2</sub> líquido, seguida por extrusão (12 ciclos). A calceína não encapsulada foi removida por filtração com Sephadex G100, hidratado em 100 mM KCl e 20 mM NaHPO<sub>4</sub> (pH 7,4). Calceína foi excitada em 490 nm e a emissão coletada em 520 nm. A quantidade de calceína liberada para o tampão externo foi calculada como: % liberação = (I<sub>est</sub>-I<sub>0</sub>)/(I<sub>t</sub>-I<sub>0</sub>), onde I é a intensidade da emissão da fluorescência antes (I<sub>0</sub>) e após a adição dos produtos da estévia (I<sub>est</sub>), e após a permeabilização completa das LUVs com tritonX-100 (I<sub>t</sub>). O raio hidrodinâmico das LUVs foi medido por DSL (dynamic light scattering). Esteviosíodeo e isoesteviol foram preparados em BSA (2mol de produto:1mol de BSA).

#### Resultados e Discussão

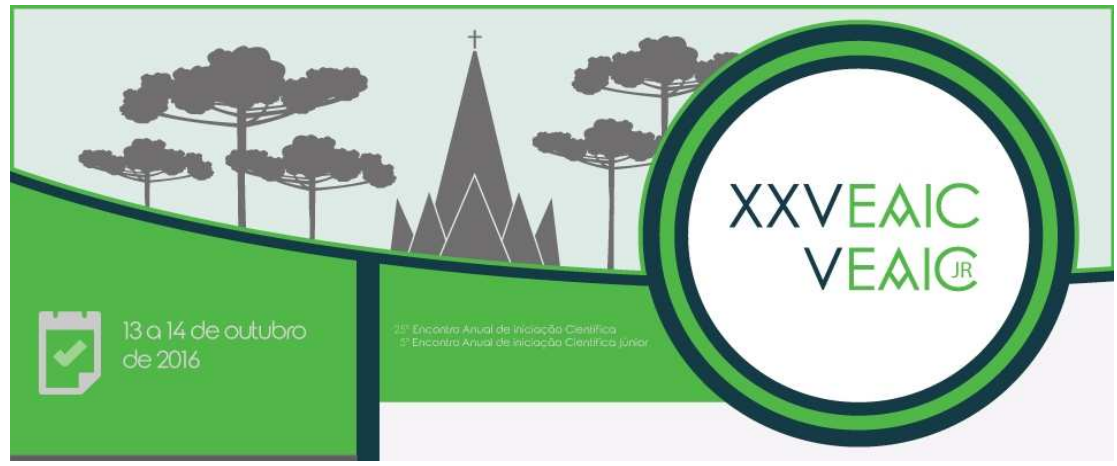
Como mostrado na **tabela 1**, esteviosídeo e isoesteviol complexados à BSA não causaram lise e nem mudanças significativas no tamanho das LUVs (500 µM). Em experimentos controle, BSA não promoveu alteração do tamanho das LUVs e nem vazamento de calceína (dados não mostrados). O índice de polidispersividade da amostra, o qual indica a distribuição média











do tamanho das nanopartículas, são menores que 0,2, indicando a presença de uma amostra homogênea (GAUMET et al, 2008).

Tab.1. Efeito do esteviosídeo e isoesteviol sobre o raio hidrodinâmico e

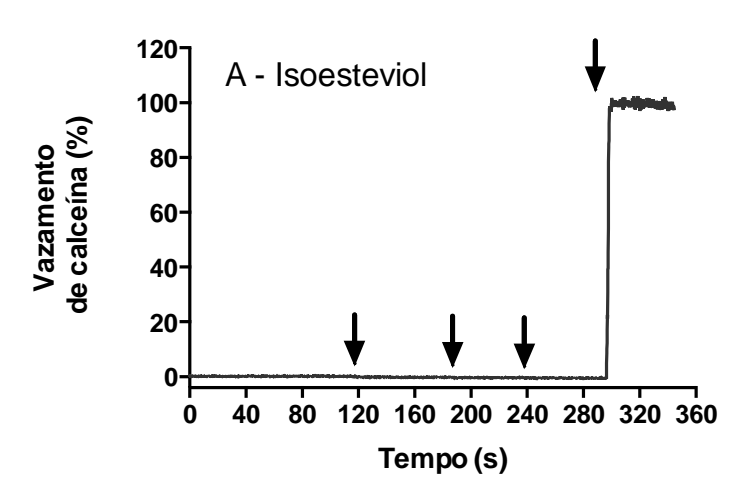
índice de polidespersividade de LUVs de egg-PC.

·	Concentração (µM)	Raio hidrodinâmico (nm)	Indice de polidespersividade
Esteviosídeo	0	154,1	0,149
	10	155,4	0,154
	50	154,7	0,161
	100	158,7	0,106
Isoesteviol	0	154,1	0,156
	10	154,8	0,163
	50	155,0	0,147
	100	155,2	0,153

Os valores correspondem a média de 3 medidas realizadas na mesma amostra. Concentração de LUVs de 500 µM. Produtos complexaso a BSA.

Como mostrado na **figura 1**, isoesteviol (A) e esteviosídeo (B) (20  $\mu$ M de produto e 10  $\mu$ M de BSA por adição) adicionados a 150  $\mu$ M de LUVs não promoveram

vazamento de calceína para o tampão externo, ou seja, não aumentaram permeabilidade da bicamada. A das LUVs lise com triton X causou uma aumento da fluorescência. indicativo de 100% de permeabilização.



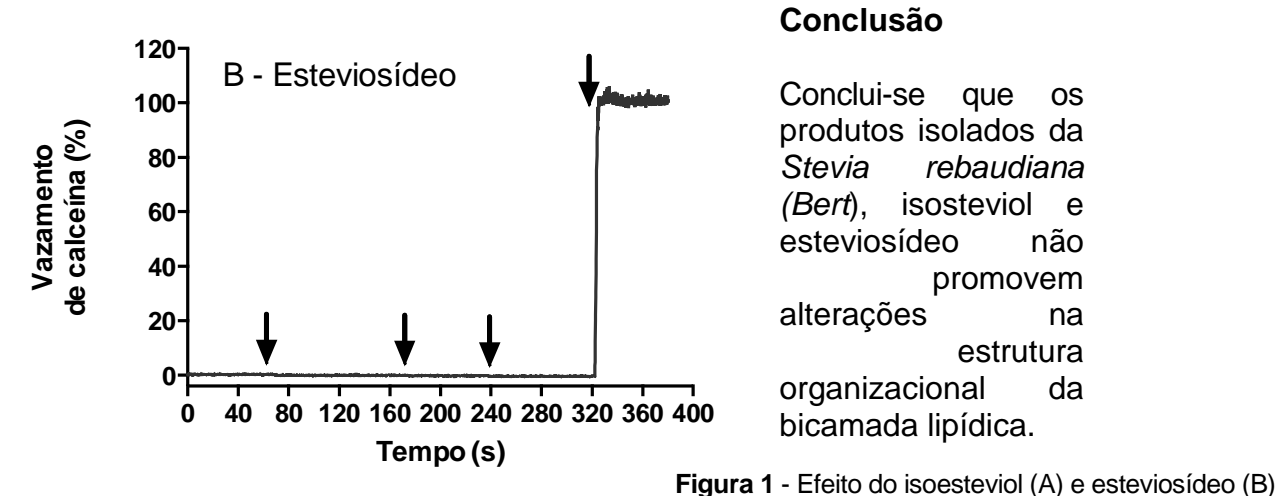












#### Conclusão

Conclui-se que produtos isolados da Stevia rebaudiana (Bert), isosteviol e esteviosídeo não promovem alterações na estrutura organizacional bicamada lipídica.

sobre o vazamento de calceína encapsulada em LUVs de egg-PC (150 µM). Adição de alíquotas de 20 µM de cada produto em 10 uM BSA (setas). Permeabilização total alcançada pela adição, ao final do experimento, de 10 μL de de triton X a 20%.

## **CNP**q

#### Referências

**Agradecimentos** 

ABUDULA, R.; MATCHKOV, V.V.; JEPPESEN, P. B.; NILSSON, H.; AALKJÆR, C.; HERMANSEN, K. Rebaudioside A directly stimulates insulin secretion from pancreatic beta cells: a glucose-dependent action via inhibition of ATP-sensitive K+-channels. Diabetes Obes Metab, v. 10, n. 11, p. 1074-1085, 2008.

GAUMET, M; VARGAS, A.; GURNY, R.; DELIE, F. Nanoparticles for drug delivery: the need for precision in reporting particle size parameters. Eur J **Pharm Biopharm**, v. 69, n.1, p. 1-9, 2008.

JEPPESEN, P. B.; GREGERSEN, S.; POULSEN, C. R.; HERMANSEN, K. Stevioside acts directly on pancreatic  $\beta$  cells to secrete insulin: actions independent of cyclic adenosine monophosphate and adenosine triphosphate-sensitive K+-channel 7 activity. **Metabolism**, v. 49, n. 2, p. 208-214, 2000.







